

КВАНТОВО-ХИМИЧЕСКОЕ ИССЛЕДОВАНИЕ СИНТЕЗИРОВАННЫХ УЛЬТРАДИСПЕРСНЫХ СТЕКОЛ $\text{Bi}_2\text{O}_3-\text{B}_2\text{O}_3-\text{BaO}$

© 2023 г. С. Д. Плехович^a, А. Д. Плехович^b, А. М. Кутын^b, А. В. Будруев^a

^a ФГАОУ ВО “Национальный исследовательский Нижегородский государственный университет им. Н.И. Лобачевского” Российской Федерации, пр. Гагарина, 23, Нижний Новгород 603950 Россия

^b Федеральное государственное бюджетное учреждение науки Институт химии высокочистых веществ им. Г.Г. Девятых Российской академии наук, ул. Тропинина, 49, Нижний Новгород 603950 Россия

*E-mail: plekhovich@ihps-pnov.ru

Поступила в редакцию 23.03.2023 г.

После доработки 16.05.2023 г.

Принята к публикации 19.05.2023 г.

Объект исследования – синтезированные по оригинальному варианту золь-гель метода ультрадисперсные висмут барий боратные стекла $20\text{Bi}_2\text{O}_3-x\text{BaO}-(80-x)\text{B}_2\text{O}_3$, $x = 5, 10, 20$ мол. % BaO , перспективные для получения функциональных стеклокристаллов, в частности, на основе алюмоиттриевого граната. ДСК анализ полученного шихтового материала с шаровыми частицами размером 0.5 мкм зафиксировал их стеклообразное состояние при температурах 450–475°C. Наличие стекла при столь малых размерах частиц позволило использовать т.н. кластерное приближение в квантово-химическом исследовании геометрической и электронной структуры стекол методом DFT/UB3LYP/LanL2DZ. Рассчитанные ИК спектры поглощения сопоставлены с экспериментальными спектрами полученных дисперсных образцов.

Ключевые слова: висмут барий боратное стекло, структурные фрагменты, ИК-спектр

DOI: 10.31857/S0023119323050108, **EDN:** MZDJPU

ВВЕДЕНИЕ

Оксид бора B_2O_3 – один из основных компонентов стеклообразующих смесей, при малых размерах катиона способен образовывать прочные связи с оксидами металлов в форме боратных солей [1]. В работах [2–5] показано, что боратные стекла прозрачны в значительной части видимого и ИК областях спектра, обладают большими значениями показателя преломления и оптической нелинейности третьего порядка $\chi^{(3)}$.

Исследования кристаллоборатов BiB_3O_6 и BaB_2O_4 в работах [6–9] показали, что по своим оптическим и физико-химическим характеристикам они обладают уникальными возможностями для создания нелинейно-оптических материалов. В работе [10] установлено, что увеличением содержания висмута в стеклообразующей системе $x\text{Bi}_2\text{O}_3-(95-x)\text{B}_2\text{O}_3-5\text{BaO}$ ($x = 20, 35, 50, 70$ мол. %) можно в широких пределах регулировать плотность стекла, увеличивая ее от 4.438 до 8.005 г/см³, а также изменять температуру кристаллизации соответственно от 650 до 400°C. Возрастание плотности с увеличением содержания Bi_2O_3 отмечено и в работе [11] для стекла $40\text{GeO}_2-20\text{Ga}_2\text{O}_3-40\text{BaO} : x\text{Bi}_2\text{O}_3$, однако при этом темпе-

ратура стеклования (T_g), показатель преломления и ширина запрещенной зоны уменьшаются. В этой работе также найдена геометрия структурного элемента Bi_2O_3 и стекла BGG– Bi_2O_3 .

Известно [12], что при волновых числах $\nu < 500 \text{ см}^{-1}$ в спектрах соединений оксида висмута преобладают колебания, относящиеся к висмут-кислородным полиэдрам, в сравнении с колебаниями других структурных единиц. Частоты колебаний группы атомов $[\text{BO}_3]$ в боратах висмута лежат в пределах $\nu_s \sim 850\text{--}960 \text{ см}^{-1}$, $\nu_\gamma \sim 650\text{--}800 \text{ см}^{-1}$, $\nu_{as} \sim 1100\text{--}1450 \text{ см}^{-1}$, $\delta \sim 500\text{--}600 \text{ см}^{-1}$; а для тетраэдрической группы $[\text{BO}_4]$ характерны колебания при $\nu_s \sim 740\text{--}890 \text{ см}^{-1}$, $\nu_\gamma \sim 400\text{--}600 \text{ см}^{-1}$, $\nu_{as} \sim 1000\text{--}1150 \text{ см}^{-1}$, $\delta \sim 600 \text{ см}^{-1}$. Исследования структуры и геометрии кластеров $(\text{B}_2\text{O}_3)_n$ ($n = 1\text{--}6$) в работе [13] методом квантовой химии DFT в сочетании с функционалом TPSSh показало, что глобальный минимум до $n = 3$ достигается при плоском строении $(\text{B}_2\text{O}_3)_n$, а для $n = 4\text{--}6$ дает каркасные структуры. Установлено, что устойчивость последних увеличивается с размером кластера.

В работе [14] исследованы теплоемкость, T_g и волюметрические характеристики в интервале температур 300–1000 K для стекол $20\text{Bi}_2\text{O}_3-$

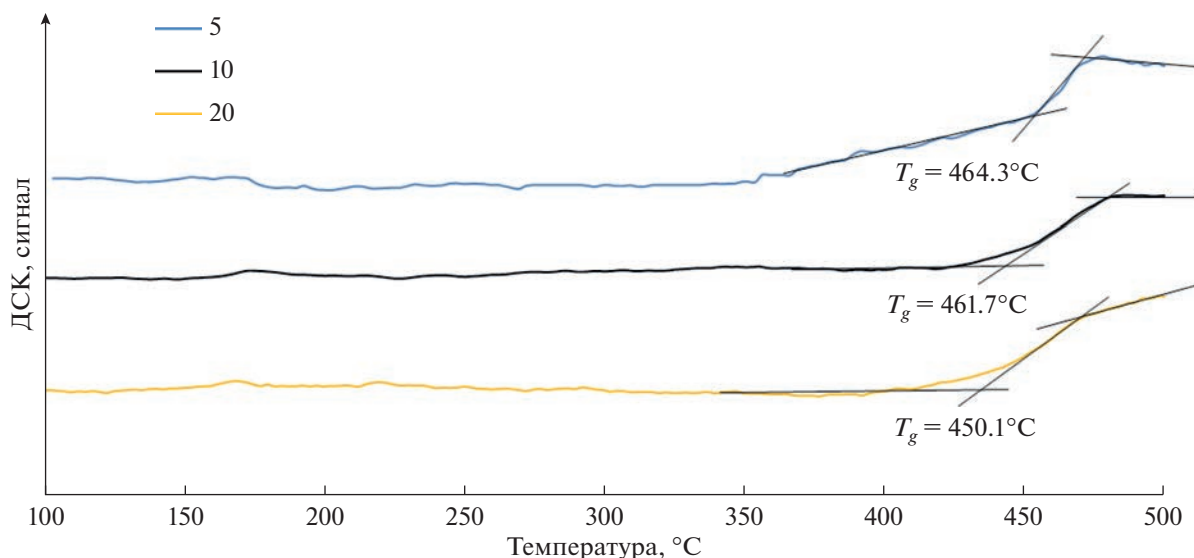


Рис. 1. Результат термического анализа дисперсных образцов $20\text{Bi}_2\text{O}_3 - x\text{BaO} - (80 - x)\text{B}_2\text{O}_3$ при $x = 5, 10$ и 20 мол. % BaO на приборе Netzsch STA 409 PC Luxx в атмосфере азота при скорости нагревания $10\text{ K}/\text{мин}$.

$x\text{BaO} - (80 - x)\text{B}_2\text{O}_3$, содержащих $x = 5, 10, 15$ и 20 мол. % BaO. По полученным данным с учетом установленных характеристик стеклования рассчитаны стандартные термодинамические функции. В работе [15] методом дифференциальной сканирующей калориметрии изучена кинетика кристаллизации в сочетании с последующим плавлением образовавшихся фаз с изменением состава стеклообразующей системы $20\text{Bi}_2\text{O}_3 - (80 - x)\text{B}_2\text{O}_3 - x\text{BaO}$ для $x = 5, 10, 15, 20$ мол. %. Кристаллические фазы определялись методом РФА.

Таким образом, исследование строения, спектральных свойств стекла $\text{Bi}_2\text{O}_3 - \text{B}_2\text{O}_3 - \text{BaO}$, совместного по оптическим, теплофизическим и физико-химическим свойствам с кристаллической фазой алюмоиттриевого граната является актуальной задачей для создания стеклокристаллов оптического назначения.

ИСПОЛЬЗУЕМЫЕ МЕТОДЫ И ПОДХОДЫ

Порошки стекол $\text{Bi}_2\text{O}_3 - \text{B}_2\text{O}_3 - \text{BaO}$ получали растворением прекурсоров $\text{Bi}(\text{NO}_3)_3$, H_3BO_3 , $\text{Ba}(\text{NO}_3)_2$ квалификации ОСЧ в бидистилированной воде в заданном мольном соотношении, что обеспечивало гомогенизацию компонентов на молекулярном уровне.

Подготовленную жидкую смесь компонентов после интенсивного перемешивания направляли в разработанную лабораторную установку, сочетающую последовательные зоны ультразвукового распыления, реакционно-термического превращения жидкофазной аэрозоли в ультрадиспер-

сную шихту и зону ее электростатического улавливания и компактирования в терmostатированной коаксиально цилиндрической камере. Получаемая таким способом шихта требуемого состава из частиц шаровой формы позволяет избежать введения дополнительных поверхностных и примесных дефектов – потенциальных центров кристаллизации стекол на стадии размола, присущей традиционному золь-гель методу синтеза шихтового материала.

В реализованных условиях синтеза размер частиц не превышал 0.8 мкм с распределением по размеру $\pm 0.3\text{ мкм}$. Отметим, что размер получаемых частиц, который контролировался методом DLS, может быть уменьшен разбавлением исходного жидкого раствора.

Представленные на рис. 1 результаты исследования полученной шихты боратов бария и висмута трех составов методом дифференциальной сканирующей калориметрии по наличию характерных для стекол переходов из стекла в переохлажденный расплав при температурах выше $450 - 470^\circ\text{C}$ для трех составов свидетельствуют о стеклообразном состоянии полученного шихтового материала даже при наноразмерных частицах.

ИК-спектры тонких слоев порошков стекол измерены на Фурье-спектрометре “Shimadzu IR Prestige-21” в диапазоне $4000 - 400\text{ см}^{-1}$.

Заметим, что используемый в работе кластерный подход к теоретическому построению сетки стекла может отразить схожее влияние краевых эффектов на ИК-спектр при шаровой форме

Таблица 1. Геометрия структурных единиц оксидов в стеках состава $20\text{Bi}_2\text{O}_3-x\text{BaO}-(80-x)\text{B}_2\text{O}_3$ ($x = 5, 10$ и 20 мол. % BaO)

BaO	B_2O_3	B_2O_3
Bi_2O_3	Bi_2O_3	Bi_2O_3

стеклообразных микрочастиц, отличающийся от спектра массивных образцов [15].

Оптимальные структуры исследуемых стекол $20\text{Bi}_2\text{O}_3-x\text{BaO}-(80-x)\text{B}_2\text{O}_3$, содержащих $x = 5, 10$ и 20 мол. % BaO найдены при использовании квантовохимической программы Gaussian03 [16] по методу DFT с функционалом uB3LYP [17, 18] и базисным набором LanL2DZ, который наиболее подходит для расчетов с требуемой точностью соединений, содержащих в своем составе элементы Hf–Bi, H, Li–La.

РЕЗУЛЬТАТЫ И ОБСУЖДЕНИЕ

Стекло в сопоставлении с кристаллом обладает сходным ближним порядком и построено из структурных единиц с практически равными: координационными числами (КЧ) одинаковых атомов, длинами и прочностью однотипных связей, а также близкими валентными углами. Несмотря на сходство указанных характеристик, наблюдаемые явления размягчения стекол, их вязкое течение, происходящие при температурах ниже температуры плавления соответствующих кристаллов [19], определяются большим разнообразием строения структурных фрагментов непрерывной неупорядоченной сетки (ННС) стекла и их взаимной трансформацией.

Геометрия простейших оксидных структур В, Ba, Bi представлена в табл. 1. Кроме одной очевидной конфигурации оксида бария, для B_2O_3 установлены две возможности в расположении атомов, а для Bi_2O_3 – три.

Г. Келлер [20] предположил, что структура боратного стекла состоит из одинаковых борокольцевых колец, образованных структурными единицами BO_3 . Развивая идею Г. Келлера, Я. Крог-Моэ предположил, что боратные стекла состоят

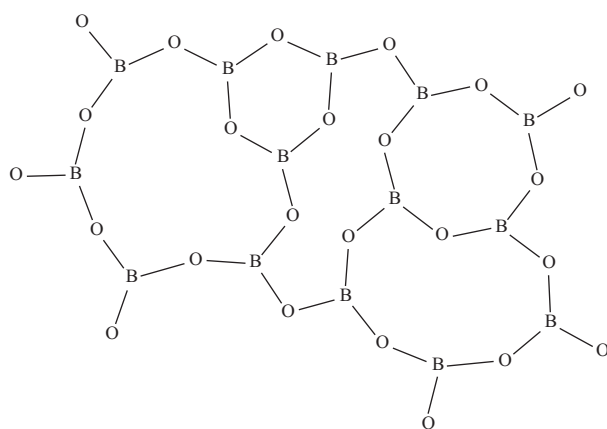
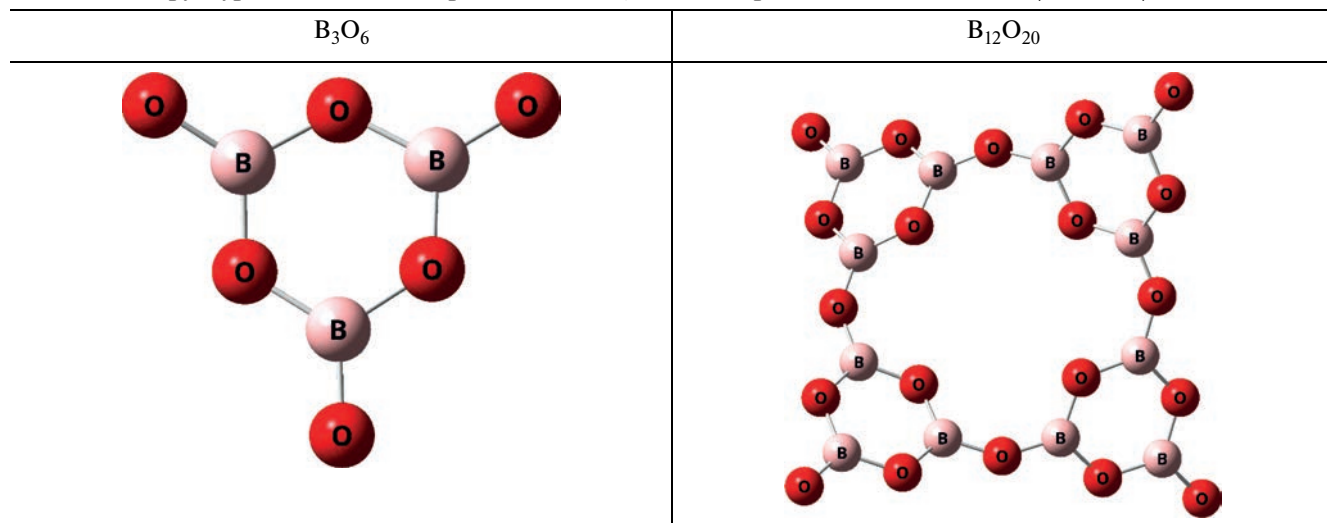


Рис. 2. Сетка боратного стекла согласно предположению Г. Келлера и Я. Крог-Моэ.

Таблица 2. Структурные элементы боратного стекла, оптимизированные методом DFT/uB3LYP/LanL2DZ



из неупорядоченно соединенных борокольных колец, геометрия которых схематично показана на рис. 2.

Похожие элементы структуры боратного стекла с квантово-химической оптимизацией геометрии представленные в табл. 2.

Расчет пространственных структур стекол исследуемых составов проводили, используя гео-

метрию структурных элементов согласно табл. 1, 3. Координируя эти элементы между собой, получили геометрические структуры соответствующие исследуемому составу, затем производили расчет ИК-спектра методом DFT\uB3LYP\LanL2DZ и сопоставляли его с ИК-спектром, полученным экспериментальным методом рис. 3. Таким образом рассчитаны геометрии кластеров (табл. 3) для со-

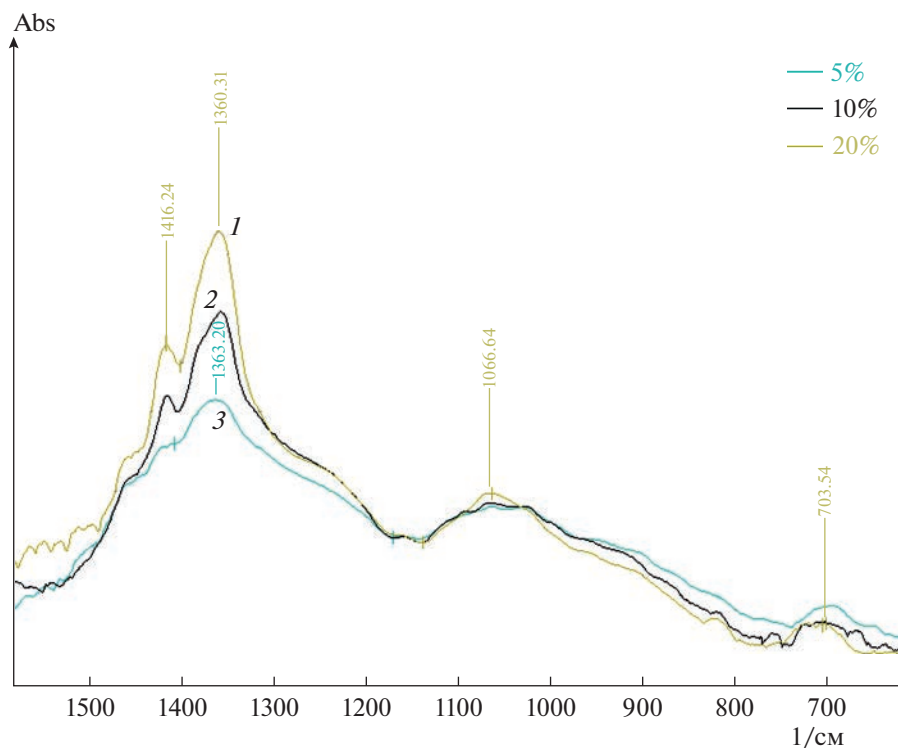


Рис. 3. Экспериментальные ИК-спектры поглощения стекол $20Bi_2O_3 - (80 - x)B_2O_3 - xBaO$, $x = 20$ (кривая 1), $x = 10$ (2), $x = 5$ (3) мол. % BaO.

Таблица 3. Рассчитанные пространственные структуры стекол $20\text{Bi}_2\text{O}_3-(80-x)\text{B}_2\text{O}_3-x\text{BaO}$ в зависимости от состава $x = 5, 10, 20$ мол. % BaO

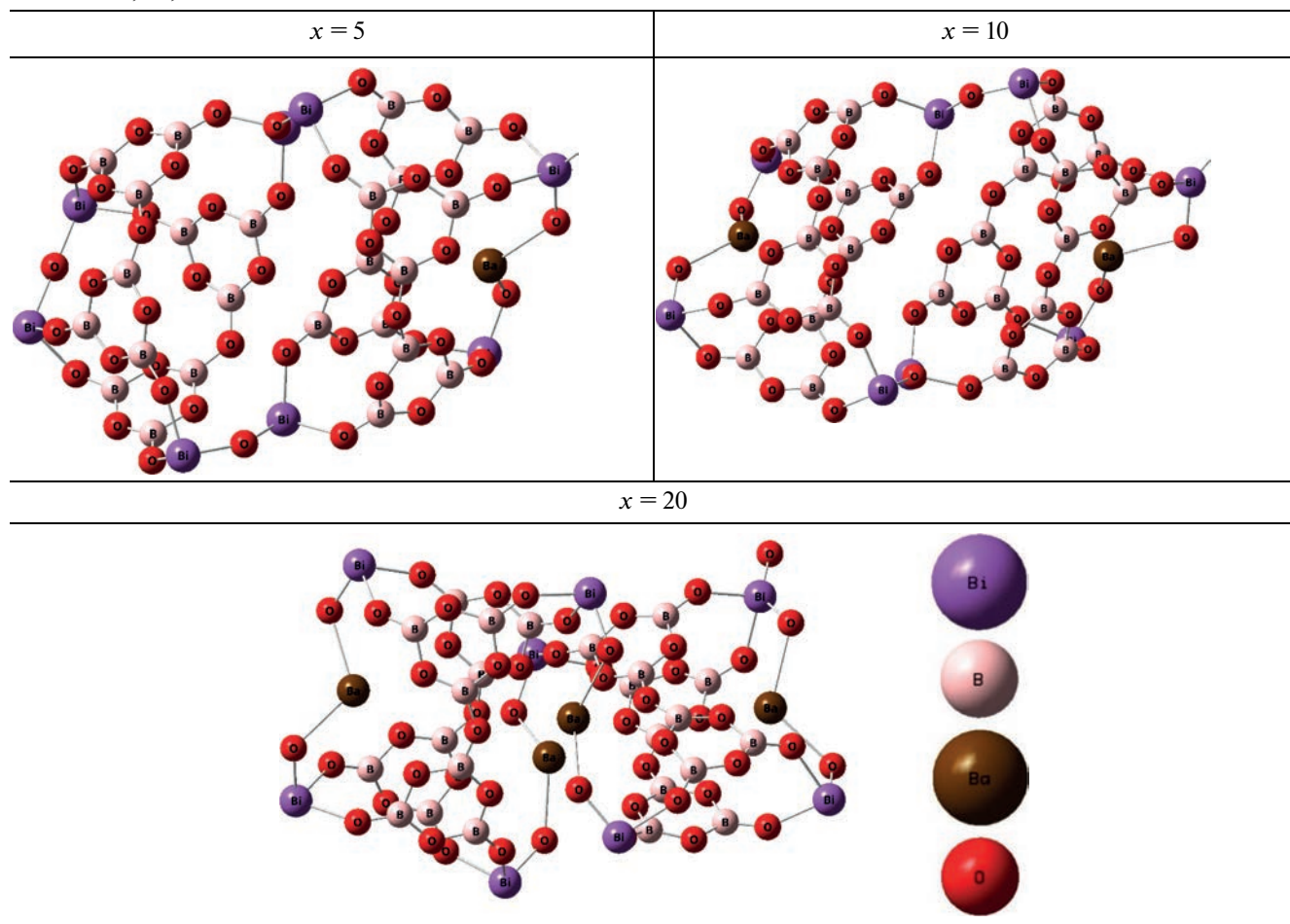


Таблица 4. Рассчитанные и экспериментальные значения волновых чисел в спектре исследуемых стекол

Волновое число, см^{-1}			Описание колебательных полос
расчет	измеренные	измеренные в работе [21]	
650–750	700	720–750	Симметричные валентные колебания Bi—O в пирамидальных структурных единицах
1000–1060	1060	990–1080	Валентные колебания в боратных группах
1100–1200	—	1200	Валентные колебания по связям B—O в группах, содержащих BO_3
1300–1400	1300–1500	1300–1500	Асимметричные валентные колебания по связям B—O в группах BO_3

ставов: $20\text{Bi}_2\text{O}_3-(80-x)\text{B}_2\text{O}_3-x\text{BaO}$ при $x = 5, 10, 20$ мол. %.

Для всех квантовохимически исследованных составов стекол прослеживается наличие групп, геометрически сходных с группами из табл. 2. Для

подтверждения геометрической структуры стекол найденной методом DFT/uB3LYP/LanL2DZ в рамках того же метода рассчитаны их ИК-спектры. Приемлемое соответствие рассчитанных характерных значений волновых чисел, экспери-

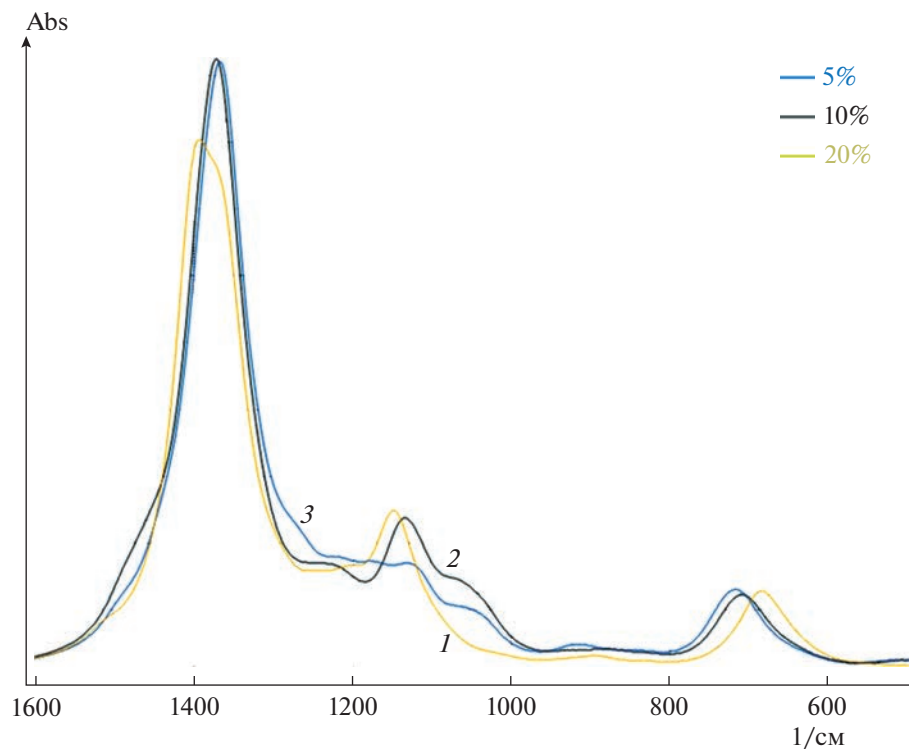


Рис. 4. ИК-спектры стекол $20\text{Bi}_2\text{O}_3 - (80 - x)\text{B}_2\text{O}_3 - x\text{BaO}$, вычисленные по структурам, приведенным в табл. 3, при $x = 20$ (кривая 1), $x = 10$ (2), $x = 5$ (3) мол. % BaO .

Таблица 5. Энергия переходов и длина волны поглощения

Энергетический переход	Энергия перехода, эВ	Длина волны поглощения, нм
$x = 5: 20\text{Bi}_2\text{O}_3 - 75\text{B}_2\text{O}_3 - 5\text{Ba}$		
$S_1 - S_3$	3.09	401
$S_1 - S_4$	3.23	384
$S_1 - S_5$	3.27	379
$S_1 - S_6$	3.32	374
$x = 10: 20\text{Bi}_2\text{O}_3 - 70\text{B}_2\text{O}_3 - 10\text{Ba}$		
$S_1 - S_3$	3.13	396
$S_1 - S_4$	3.26	380
$S_1 - S_5$	3.30	376
$S_1 - S_6$	3.35	371
$x = 20: 20\text{Bi}_2\text{O}_3 - 60\text{B}_2\text{O}_3 - 20\text{Ba}$		
$S_1 - S_6$	3.05	406
$S_1 - S_{12}$	3.22	385

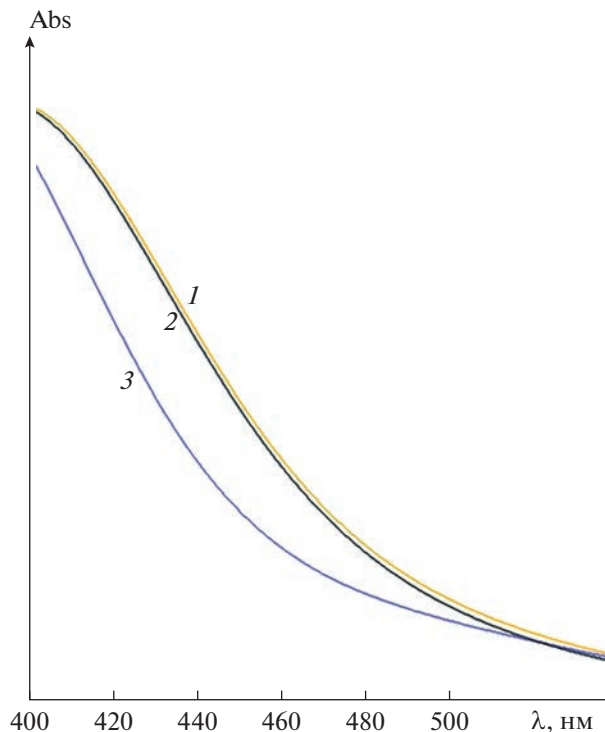


Рис. 5. Теоретически рассчитанный UV-Vis спектр для стекол $20\text{Bi}_2\text{O}_3-(80-x)\text{B}_2\text{O}_3-x\text{BaO}$, $x = 20$ (кривая 1), $x = 10$ (2), $x = 5$ (3) мол. % BaO.

ментально полученных и литературных данных из работы [21] для аналогичной стеклообразующей системы, которые представлены в табл. 4, показывают, что кластерное приближение учитывает структурные особенности исследуемых стекол, в свою очередь, отражаемые их колебательным спектром.

Для стекол $20\text{Bi}_2\text{O}_3-(80-x)\text{B}_2\text{O}_3-x\text{BaO}$ на рис. 4 приведены теоретически рассчитанные ИК-спектры с характерными полосами поглощения при значениях волновых чисел: 1418, 1363, 1063, 1030, 701 cm^{-1} при $x = 5$; 1416, 1357, 1068, 702 cm^{-1} при $x = 10$; 1416, 1360, 1067, 725 cm^{-1} при $x = 20$.

В расчетном ИК-спектре наблюдаются полосы поглощения в интервалах волновых чисел $1300-1400$, $1100-1200$, $1000-1060$, $650-750\text{ cm}^{-1}$. Вид колебаний соответствует данным табл. 4.

При оптимальной геометрии кластеров тем же методом TD-SCF/DFT/B3Lyp/LanL2DZ вычислены энергии их электронных уровней в синглетном состоянии. Наиболее интенсивные по величине энергетические переходы между уровнями представлены в табл. 5.

В качестве сопоставления с известными данными [23] отметим, что для висмутосиликатных стекол с добавками оксидов тяжелых металлов SrO, BaO или PbO характерно наличие четырех

полос поглощения: 235, 320, 494, 541 нм, а по данным работы [24] в стеклах, содержащих Bi_2O_3 обнаружены УФ полосы поглощения с наибольшими значениями вблизи 300, 400, 450, 700 нм. Для исследуемых в нашей работе стекол (рис. 5) обнаружено смещение края полосы поглощения в длинноволновую область с увеличением содержания BaO, что соответствует данным работы [24].

ЗАКЛЮЧЕНИЕ

Экспериментально установленное наличие стеклофазы в ультрадисперсных образцах висмут барий боратных стекол $20\text{Bi}_2\text{O}_3-x\text{BaO}-(80-x)\text{B}_2\text{O}_3$ $x = 5, 10, 20$ мол. % BaO с частицами шаровой формы обуславливает возможность использования т.н. кластерного подхода, способного отразить влияние краевых эффектов на ИК-спектр при квантовохимическом моделировании наноразмерных частиц. Построены ИК и электронные (UV-Vis) спектры. Установлены значения энергии переходов между основным S_0 уровнем и возбужденными синглетными уровнями ($S_1, S_3, S_4, S_5, S_{12}$). Для характерных полос поглощения в ИК-области проведено сравнение полученных волновых чисел с экспериментально определенными значениями. Полученные результаты подтверждают возможность построения теоретических моделей на основе квантовой химии для описания геометрической структуры, а также колебательной и электронной характеризации наноразмерных стеклообразующих систем.

ИСТОЧНИК ФИНАНСИРОВАНИЯ

Работа поддержана Российским Научным Фондом (РНФ), грант № 20-73-10110.

СПИСОК ЛИТЕРАТУРЫ

- Lee Y.I., Lee J.H., Hong S.H., Park Y. // Solid State Ionics, 204. V. 175(1–4) P. 687–690.
- Hasu H., Ito T., Hase H., Matsuoka J., Kamiya K. // J. Non-Cryst. Solids, 1996. V. 204. № 1. P. 78–82.
- Becker P. // Cryst. Res. Technol., 2003. V. 38. № 1. P. 74–82.
- Ehrt D. // Phys. Chem. Glasses, 2006. V. 47. № 6. P. 669–674.
- Motke S.G., Yawale S.P. // Bull. Mater. Sci., 2002. № 25. P. 75–78.
- Hellwig H., Liberty J., Bohaty L. // Solid State Commun., 1999. 109. P. 249.
- Chen C., Wu B., Jiang A., You G. // Scientia B. 1985. 26, P. 235.
- Egorysheva A.V., Skorikov V.M. // Inorg. Mater. 2009. V. 45. № 13. P. 1461.
- Fedorov P.P., Kokh A.E., Kononova N.G. // Russ. Chem. Rev. 2002. V. 714. P. 651.
- Egorysheva A.V., Volodin V.D., Skorikov V.M. // Inorganic Materials. 2008. V. 44. № 11. P. 1261–1265.

11. *Dubuis S., Messaddeq S.H., Ledemi Y., Côté A., Messaddeq Y.* // Optical Materials Express. 2021. V. 11. № 8. P. 2560–2575.
12. *Egorysheva A.V., Burkov V.I., Kargin Yu.F., Plotnichenko V.G., Koltashev V.V.* // Kristallografiya. 2005. V. 50. № 1. P. 165–174.
13. *Li L., Cheng L.* // J. Chem. Phys., 2013. V. 138. 094312.
14. *Плехович А.Д., Ростокина Е.Е., Комшина М.Е., Балуева К.В., Игнатова К.Ф., Кутын А.М.* // Неорганические материалы. 2022. Т. 58. № 7. С. 763–770.
15. *Plekovich A.D., Kut'in A.M., Rostokina E.E., Komshina M.E., Balueva K.V., Ignatova K.F., Shiryaev V.S.* // Journal of Non-Crystalline Solids. 2022. V. 588. P. 121629.
16. *Gaussian R.A., Frisch M.J., Trucks G.W., Schlegel H.B., Scuseria G.E., Robb M.A., Cheeseman J.R., Scalmani G., Barone V., Mennucci B., Petersson G.A. et al.* // Gaussian. Inc., Wallingford CT. 2003.
17. *Becke A.D.* // The Journal of Chemical Physics, 1993. V. 98. P. 5648–5652.
18. *Lee C., Yang W., Parr R.G.* // Physical Review B, 1988. № 37. P. 785–789.
19. *Miehlich B., Savin A., Stoll H., Preuss H.* // Chemical Physics Letters. 1989. V. 157. P. 200–206.
20. *Srinivasaraghavan R., Chandiramouli R., Jeyaprakash B.G., Seshadri S.* // Spectrochim. Acta, Part A. 2013. V. 102. P. 242–249.
21. *Egorysheva A.V., Skorikov V.M., Volodin V.D., Myslitskii O.E., Kargin Yu.F.* // Russian Journal of Inorganic Chemistry. 2006. V. 51. № 12. P. 1956–1960.
22. *Krogh-Moe J.* // J. Non-Cryst. Solids. 1969. V. 1. P. 269–284.
23. *Feng He, Zijun He, Junlin Xie, Yuhui Li* // Am. J. Anal. Chem. 2014. V. 5. P. 1142–1150.
24. *Marzouk M.A., ElBatal H.A., Ezz ElDin F.M.* // Silicon, V. 5. № 4. P. 283–295.
25. *Marzouk M.A., ElBatal F.H.* // Appl. Phys. A. 2014. V. 115. P. 903–912.
26. *Chen F.* // J. Wuhan Univ. Technol.-Mat. Sci. 2009. V. 24. P. 716–720.